

ISSN 2542-2332 (Print)
ISSN 2686-8040 (Online)

2024 Том 29, №3

НАРОДЫ И РЕЛИГИИ ЕВРАЗИИ



Барнаул

Издательство
Алтайского государственного
университета
2024

ISSN 2542-2332 (Print)
ISSN 2686-8040 (Online)

2024 Vol. 29, №3

NATIONS AND RELIGIONS OF EURASIA



Barnaul

Publishing house
of Altai State University
2024

СОДЕРЖАНИЕ

НАРОДЫ И РЕЛИГИИ ЕВРАЗИИ

2024 Том 29, №3

Раздел I

АРХЕОЛОГИЯ И ЭТНОКУЛЬТУРНАЯ ИСТОРИЯ

- Солодовников К. Н., Алексеева Е. А., Бородаев В. Б., Кирюшин К. Ю., Куфтерин В. В., Рыкун М. П., Слепцова А. В.* Комплексный палеоантропологический анализ скелета ребенка из неолитического погребения Усть-Алейка-5 в Барнаульском Приобье7
- Федорук О. А.* Мужские погребения с украшениями Андроновской (Федоровской) культуры (степной и лесостепной Алтай)32
- Гурулёв Д. А., Ершова О. В., Жу Ч.* Проблемы выделения и абсолютного датирования мезолитических комплексов в Нижнем Приангарье.....46
- Стоякин М. А.* Стремена Когурё на севере Корейского полуострова и Маньчжурии: тупик или эволюция?64

Раздел II

ЭТНОЛОГИЯ И НАЦИОНАЛЬНАЯ ПОЛИТИКА

- Ягафова Е. А., Роговой А. С.* Этническая vs локальная идентичность чувашей в киберпространстве (по материалам социальных сетей «ВКонтакте» и «Одноклассники») 91
- Дамешек Л. М., Дамешек И. Л., Орлова И. В.* Инфекционные заболевания коренных народов восточной Сибири в конце XVIII — начале XX в.: источники распространения и основные меры борьбы107
- Мучаева И. И., Лиджиева И. В.* Кочевые инородцы на коронациях российских монархов в последней трети XIX в.: дары как свидетельства верноподданства 128

Раздел III

РЕЛИГИОВЕДЕНИЕ И ГОСУДАРСТВЕННО-КОНФЕССИОНАЛЬНАЯ ПОЛИТИКА

- Дашковский П. К., Зиберт Н. П.* Православные общины Западной Сибири в условиях антирелигиозной политики Н. С. Хрущева146
- Жанбосинова А. С., Лысенко Ю. А., Омурова Ж. О., Омарканова А. О.* Исламский фактор в содержании повстанческого движения казахского аула конца 1920 — начала 1930-х гг.166
- Ахатов А. Т., Тузбеков А. И.* Культ священной горы — Аулия Тау на Южном Урале: традиции и новации (по материалам экспедиционного выезда в Кугарчинский район республики Башкортостан в 2023 г.)186

- ДЛЯ АВТОРОВ**204

CONTENT

NATIONS AND RELIGIONS OF EURASIA

2024 Vol. 29, №3

Section I

ARCHAEOLOGY AND ETNO-CULTURAL HISTORY

<i>Solodovnikov K. N., Alekseeva E. A., Borodaev V. B., Kiryushin K. Yu., Kufterin V. V., Rykun M. P., Sleptsova A. V.</i> An integrated study of the neolithic child skeleton from Ust-Aleika-5 Burial Ground, Barnaul Ob region.....	7
<i>Fedoruk O. A.</i> Male burials with jewelry of the Andronovo (Fedorovo) culture (steppe and forest-steppe Altai)	32
<i>Gurulev D. A., Ershova O. V., Zhu Z.</i> Issues of identification and radiocarbon dating of Mesolithic complexes in the Lower Angara region.....	46
<i>Stoyakin M. A.</i> Koguryo stirrups in the north region of the Korean Peninsula and Manchuria: deadlock or evolution?.....	64

Section II

ETHNOLOGY AND NATIONAL POLICY

<i>Iagafova E. A., Rogovoy A. S.</i> Ethnic vs local identity of the Chuvash cyberspace (based on materials of social networks VKontakte and Odnoklassniki)	91
<i>Dameshek L. M., Dameshek I. L., Orlova I. V.</i> Infectious diseases of indigenous peoples of Eastern Siberia in the 19th-early 20th centuries: sources of spread and main control measures	107
<i>Muchaeva I. I., Iidzhieva I. V.</i> Nomadic foreigners at the coronations of Russian monarchs in the last third of the 19th century: gifts as evidence of loyalty	128

Section III

RELIGIOUS STUDIES AND STATE-CONFESSIONAL RELATIONS

FOR AUTHORS

<i>Dashkovskiy P. K., Ziebert N. P.</i> Orthodox communities of Western Siberia under N. S. Khrushchev's anti-religious policy.....	146
<i>Zhanbossinova A. S., Lysenko Yu. A., Omurova Zh. O., Omarkanova A. O.</i> The Islamic factor in the rebellion movement of the Kazakh aul at the end of the 1920s-early 1930s.....	166
<i>Ahatov A. T., Tuzbekov A. I.</i> Cult of the Auliya tau, sacred mountain in the Southern Ural: traditions and innovations (based on the expedition to Kugarchinsky district of the Republic of Bashkortostan in 2023)	186

FOR AUTHORS	204
--------------------------	-----

Раздел I

АРХЕОЛОГИЯ

И ЭТНОКУЛЬТУРНАЯ ИСТОРИЯ

УДК 903.5/572.7

DOI 10.14258/nreur(2024)3-01

К. Н. Солодовников

Тюменский научный центр СО РАН, Тюмень (Россия)

Е. А. Алексеева

Тюмень (Россия)

В. Б. Бородаев

Алтайский государственный педагогический университет, Барнаул (Россия)

К. Ю. Кирюшин

Алтайский государственный университет, Барнаул (Россия)

В. В. Куфтерин

Институт этнологии и антропологии им. Н. Н. Миклухо-Маклая РАН, Москва (Россия)

М. П. Рыкун

Национальный исследовательский Томский государственный университет, Томск (Россия)

А. В. Слепцова

Тюменский научный центр СО РАН, Тюмень (Россия)

КОМПЛЕКСНЫЙ ПАЛЕОАНТРОПОЛОГИЧЕСКИЙ АНАЛИЗ СКЕЛЕТА РЕБЕНКА ИЗ НЕОЛИТИЧЕСКОГО ПОГРЕБЕНИЯ УСТЬ-АЛЕЙКА-5 В БАРНАУЛЬСКОМ ПРИОБЬЕ

Представлены результаты исследования детского скелета из неолитического погребения 2 могильника Усть-Алейка-5 в Верхнем Приобье. Биологический возраст смерти ребенка определяется в два года \pm 8 месяцев. Череп характеризуется макроцефалией и открытым передним родничком крупных для данного возраста размеров. Наиболее вероятной причиной макроцефалии в рассматриваемом случае является одна из форм гидроцефалии, однако однозначный палеопатологический диагноз установить проблематично. Остеометрические характеристики костей посткраниального скелета скорее смещены к нижним пределам доверительного интервала данного зубного возраста. Ряд остеометрических показателей может свидетельствовать о гетерохронии биологического развития, возможно, обусловленной патологическим состоянием. По черепу ребенка из Усть-Алейки-5 выполнена графическая антропологическая реконструкция. Результаты краниологического анализа и реконструированные «взрослые» размеры черепа предполагают мужскую половую принадлежность индивида раннего детского возраста. На основании как краниометрических, так и одонтологических характеристик можно утверждать о принадлежности погребённого к антропологическому пласту автохтонного населения центральных регионов Евразии, представленного, в частности, краниологическими сериями неолита-энеолита из могильников Среднего Прииртышья, Барнаульско-Бийского и Новосибирско-Каменского Приобья, Барабинской лесостепи, а также Приаралья. Одонтологический анализ выявляет сходство индивида из Усть-Алейки-5 с неолитическими популяциями юга Западной Сибири из могильников Барабы и предгорных районов Алтае-Саян. Результаты анализа одонтологических признаков дают возможность полагать, что в их составе сохранились характеристики более древнего, чем неолитическое, населения юга Западной Сибири, характеризовавшегося смягченной выраженностью «восточных» признаков, и длительным сохранением архаичных особенностей.

Ключевые слова: Западная Сибирь, неолит Верхнего Приобья, палеоантропология, палеопатология, краниометрия, остеометрия, одонтология, реконструкция лица по черепу

Цитирование статьи:

Солодовников К. Н., Алексеева Е. А., Бородаев В. Б., Кирюшин К. Ю., Куфтерин В. В., Рыкун М. П., Слепцова А. В. Комплексный палеоантропологический анализ скелета ребенка из неолитического погребения Усть-Алейка-5 в Барнаульском Приобье // Народы и религии Евразии. 2024. Т. 29, № 3. С. 7–31. DOI 10.14258/nreur(2024)3–01.

K. N. Solodovnikov

*Tyumen Scientific Centre Siberian Branch Russian Academy of Sciences,
Tyumen (Russia)*

E. A. Alekseeva

Tyumen (Russia)

V. B. Borodaev

Altai State Pedagogical University, Barnaul (Russia)

K. Y. Kiryushin

Altai State University, Barnaul (Russia)

V. V. Kufferin

Institute of Ethnology and Anthropology Russian Academy of Sciences, Moscow (Russia)

M. P. Rykun

National Research Tomsk State University, Tomsk (Russia)

A. V. Sleptsova

Tyumen Scientific Centre Siberian Branch Russian Academy of Sciences, Tyumen (Russia)

AN INTEGRATED STUDY OF THE NEOLITHIC CHILD SKELETON FROM UST-ALEIKA-5 BURIAL GROUND, BARNAUL OB REGION

This article presents the results of an integrated study of a child skeleton from Neolithic grave no. 2 at the Ust-Aleika-5 burial ground in the Upper Ob region. The estimated skeletal age at death is approximately 2 years \pm 8 months. Notably, the cranium exhibits macrocephaly and an unusually large open anterior fontanel for this age group. The likely cause of the macrocephaly appears to be a form of hydrocephalus, although a precise paleopathological diagnosis remains challenging.

The osteometric measurements of the clavicles, scapulae, pelvis, and long bones generally align with the lower limit of the confidence interval for the dental age. Some postcranial dimensions suggest heterochronic biological development, potentially linked to the observed pathological condition. A 2D facial reconstruction was created based on the analyzed cranium, and cranial metric analysis, together with the dimensions of the reconstructed «adult» skull, indicates a probable male sex for the child skeleton.

Craniometric and dental non-metric traits suggest that the Ust-Aleika-5 individual is closely related to the autochthonous populations of central Eurasia, particularly those represented by Neolithic-Eneolithic cranial samples from regions such as the Middle Irtysh, Barnaul-Biysk, the Novosibirsk-Kamen Ob basin, and the Barabinsk forest-steppe, as well as the Aral Sea

region. Additionally, dental anthropological analysis indicates a proximity between the Ust-Aleika-5 individual and the Neolithic populations of southern Western Siberia, specifically from the Baraba burial grounds and the foothills of the Altai-Sayan region. This analysis suggests that these populations retained characteristics of an earlier population predating the Neolithic era in southern Western Siberia, marked by a mild expression of «eastern» non-metric dental traits and the enduring presence of archaic features.

Keywords: Western Siberia, Neolithic Upper Ob region, bioarchaeology, paleopathology, craniometry, osteometry, dental anthropology, forensic facial reconstruction

For citation:

Solodovnikov K. N., Alekseeva E. A., Borodaev V. B., Kiryushin K. Yu., Kufterin V. V., Rykun M. P., Sleptsova A. V. An integrated study of the Neolithic child skeleton from Ust-Aleika-5 burial ground, Barnaul Ob region. *Nations and Religions of Eurasia*. 2024. Vol. 29, No 3. P. 7–31 (in Russian) DOI 10.14258/nreur(2024)3–01.

Солодовников Константин Николаевич, кандидат исторических наук, старший научный сотрудник сектора физической антропологии Тюменского научного центра СО РАН, Тюмень (Россия). **Адрес для контактов:** solodk@list.ru; <https://orcid.org/0000-0003-0925-7219>

Алексеева Елена Алексеевна, независимый исследователь; Тюмень (Россия). **Адрес для контактов:** alekseeva.elena.ae@gmail.com; <https://orcid.org/0000-0003-2936-2956>

Бородаев Вадим Борисович, ведущий специалист научно-исследовательской лаборатории «Историческое краеведение» Алтайского государственного педагогического университета, Барнаул (Россия). **Адрес для контактов:** borodaev_vb@altspu.ru; <https://orcid.org/0000-0001-9543-0596>

Кирюшин Кирилл Юрьевич, кандидат исторических наук, доцент кафедры рекреационной географии, сервиса, туризма и гостеприимства Института географии Алтайского государственного университета, Барнаул (Россия). **Адрес для контактов:** kirill-kirushin@mail.ru; <https://orcid.org/0000-0003-3122-1423>

Куфтерин Владимир Владимирович, доктор биологических наук, ведущий научный сотрудник Центра антропоэкологии Института этнологии и антропологии им. Н. Н. Миклухо-Маклая РАН, Москва (Россия). **Адрес для контактов:** vladimirkufterin@mail.ru; <https://orcid.org/0000-0002-7171-8998>

Рыкун Марина Петровна, кандидат исторических наук, доцент кафедры антропологии и этнологии факультета исторических и политических наук Национального исследовательского Томского государственного университета, Томск (Россия). **Адрес для контактов:** m_rykun@mail.ru; <https://orcid.org/0000-0002-4262-8731>

Слепцова Анастасия Викторовна, кандидат исторических наук, научный сотрудник сектора физической антропологии Тюменского научного центра СО РАН, Тюмень (Россия). **Адрес для контактов:** sleptsova_1993@mail.ru; <https://orcid.org/0000-0001-5791-248X>

Solodovnikov Konstantin Nikolaevich, candidate of historical Sciences, senior researcher of the sector of physical anthropology of the Tyumen scientific Centre SB RAS, Tyumen (Russia). **Contact address:** solodk@list.ru; <https://orcid.org/0000-0003-0925-7219>

Alekseeva Elena Alekseevna, independent researcher, Tyumen (Russia). **Contact address:** alekseeva.elena.ae@gmail.com; <https://orcid.org/0000-0003-2936-2956>

Borodaev Vadim Borisovich, leading specialist of the scientific research laboratory «Istoricheskoye krayevedeniye» of the Altai state pedagogical university, Barnaul (Russia). **Contact address:** borodaev_vb@altspu.ru; <https://orcid.org/0000-0001-9543-0596>

Kiryushin Kirill Yuryevich, candidate of historical Sciences, docent of the Department of recreational geography, service, tourism and hospitality of the Institute of geography of the Altai state university, Barnaul (Russia). **Contact address:** kirill-kirushin@mail.ru; <https://orcid.org/0000-0003-3122-1423>

Kufterin Vladimir Vladimirovich, doctor of biological Sciences, leading researcher of the Center of anthropoecology of the Institute of Ethnology and Anthropology RAS, Moscow (Russia). **Contact address:** vladimirkufterin@mail.ru; <https://orcid.org/0000-0002-7171-8998>

Rykun Marina Petrovna, candidate of historical Sciences, docent of the Department of anthropology and ethnology of the Faculty of historical and political sciences of the National research Tomsk state university, Tomsk (Russia). **Contact address:** m_rykun@mail.ru; <https://orcid.org/0000-0002-4262-8731>

Sleptsova Anastasia Viktorovna, candidate of historical Sciences, researcher of the sector of physical anthropology of the Tyumen scientific Centre SB RAS, Tyumen (Russia). **Contact address:** sleptsova_1993@mail.ru; <https://orcid.org/0000-0001-5791-248X>

Введение

Вопросы изучения антропологического состава неолитического населения юга Западной Сибири вызывают дискуссии, которые возобновляются по мере появления новых палеоантропологических данных [Чикишева, 2012; Багашёв, 2017; Солодовников, Багашев, Савенкова, 2020; Чикишева, Поздняков, 2021; Козинцев, 2021]. Исследованием краниологических [Чикишева, 2012; Солодовников и др., 2019] и одонтологических [Чикишева, 2012; Зубова, Чикишева, 2015a] материалов установлена антропологическая многокомпонентность неолитического населения юга Западной Сибири. Однако происхождение выделяемых компонентов и их таксономический статус являются дискуссионными. Несмотря на развитие палеопатологических и палеоауксологических методик древнейшие группы по региону практически не представлены соответствующими данными. В исследовании этих и других проблем важны новые, в том числе и единичные материалы.

В 1982 г. в процессе изучения могильника монгольского времени Усть-Алейка-5 в Верхнем Приобье (Калманский район Алтайского края) обнаружено и исследовано неолитическое погребение № 2 — одиночное вертикальное захоронение ребенка раннего детского возраста с многочисленным сопроводительным инвентарем. Глубина могилы 0,6–0,7 м в материке, диаметр около 0,3 м. Лицом ребёнок ориентирован на юго-во

сток. В могиле обнаружены разнообразные каменные артефакты, в том числе бифасы, орудия на плитках кремневого сланца, топор с подшлифовкой, наконечники стрел и некоторые другие изделия из камня. Многочисленна коллекция найденных в данном погребении украшений из раковин моллюсков, рога, кости и зубов млекопитающих. Не имеют прямых аналогов в синхронных памятниках региона 124 перламутровые подвески линзовидной формы, изготовленные из раковин двустворчатых моллюсков рода *Unio*, которым посвящена отдельная публикация [Бородаев и др., 2022]. Две калиброванные радиоуглеродные AMS-даты по наложению интервалов календарного возраста датируют погребение периода неолита из могильника Усть-Алейка-5 второй половиной V тыс. до н. э. [Бородаев и др., 2022: 54–55].

Материалы и методы

Антропологические материалы из погребения 2 могильника Усть-Алейка-5 исследовались в 1980-е гг. на кафедре анатомии Алтайского медицинского института (изучение посткраниального скелета осуществил А. И. Стерлин) и в кабинете антропологии (КА) Томского госуниверситета (фрагменты черепа, определения В. А. Дрёмова). Возраст индивида был определен А. И. Стерлиным в интервале 1 год 6 мес. — один год восемь месяцев при реконструированной длине тела 80 ± 2 см, а В. А. Дрёмовым — в два-три года. В настоящее время все части почти полного скелета ребенка (отсутствует базилярная часть затылочной кости, правая лобковая кость, часть позвонков и ребер, а также некоторые эпифизы и мелкие кости кистей и стоп) хранятся в КА ТГУ (инв. № 3305). В процессе исследований выполнена реставрация черепа, краниометрическое и остеологическое обследование находки, описание ее одонтологических особенностей, выполнена реконструкция прижизненного облика.

Возраст индивида определен на основании схемы развития молочных и постоянных зубов [Ubelaker, 1989]. Посткраниальные измерения проведены согласно остеометрическому протоколу для палеоантропологических исследований [Карпетян, Куфтерин, 2020]. Дополнительно проведено измерение наименьшей окружности малоберцовых костей (аналог Март. 4а), а ширина верхнего метафиза плечевой измерена не строго перпендикулярно горизонтальной оси, как предлагается авторами программы [Карпетян, Куфтерин, 2020: 85], а в двух плоскостях (фактически наименьшая и наибольшая ширина верхнего метафиза). Поскольку последний размер является аналогом Март. 3 у взрослых (ширина верхнего эпифиза плечевой кости), величина которого определяется проекционно [Алексеев, 1966: 75–76], такое усовершенствование выглядит оправданным, так как позволяет корректнее измерять ширину метафиза в случаях, когда точки, между которыми определяется размер, расположены в плоскости не строго перпендикулярной телу кости.

Череп ребенка из Усть-Алейки-5 реставрирован из фрагментов, недостающие части воссозданы воско-канифольной мастикой, исследован по стандартной краниометрической программе [Алексеев, Дебец, 1964]. Измерения детского черепа трансформированы в условно «взрослые» величины на основе использования данных Н. С. Сысака [Сысак, 1960] и Н. Д. Довгялло [Довгялло, 1937]. Как отмечается специалистами, привлечение детских костяков для морфологических описаний в палеоантропологии крайне редко и нетрадиционно. Между тем детские черепа являются вполне опреде-

ленными носителями конкретных расовых черт, иногда даже в пределах расовых комплексов второго порядка [Хохлов, 2010; Худавердян и др., 2017]. Поэтому при анализе краниологических признаков мы воспользовались методикой реконструкции «взрослых» размеров детских черепов путем пересчета размеров на дефинитивные, т. е. такие, которые черепа должны приобрести по окончании роста. Данная методика давно используется в отечественной антропологии, подробно описана в работах В. П. Алексеева [Алексеев, 1978: 54–55, 176–177], Л. Т. Яблонского [Яблонский, 1977; 1994] и применяется до последнего времени [Хохлов, 1996: 134–136; 2010; Худавердян и др., 2017]. Онтогенетические аллометрические траектории и моделирование развития для определения специфики паттернов роста и визуализации потенциальных форм взрослых индивидов используются и на основе методов геометрической морфометрии (напр.: [Freidline et al., 2013; Schuh et al., 2019; Brachetta-Aporta, Gonzalez, Bernal, 2021]). С учетом интервала оценки биологического возраста ребенка из погребения Усть-Алейки-5 на основании характеристик зубной зрелости и остеометрических данных для вычисления коэффициентов увеличения краниометрических данных суммированы показатели детей второго года [Довгялло, 1937: табл. 3] и третьего года жизни (интервал два-три года у Н. С. Сысака) [Довгялло, 1937: табл. 3; Сысак, 1960: 37–39]. Межгрупповой сравнительный анализ краниологических серий выполнялся при помощи канонического анализа (программа Ю. К. Чистова). Матрица расстояний D^2 подвергалась кластеризации методом Уорда.

На основе методики М. М. Герасимова [Герасимов, 1949; 1955] с модификациями [Лебединская, 1998; Никитин, 2009] проведена реконструкция портрета ребенка из Усть-Алейки-5. На полученные с помощью антропологической фотографии [Лейбова, Лейбов, 2022] анфас и в профильной норме контуры нанесены маркеры толщин мягких тканей и выполнена графическая прорисовка.

Молочные зубы и закладки постоянных зубов верхней и нижней челюстей обследованы по расширенной одонтологической программе, включающей в себя учет стандартного набора признаков, предложенного А. А. Зубовым [Зубов, 1968; 2006], и признаков, маркирующих архаичную составляющую в составе населения Северной Евразии [Зубова, 2013].

Оценка возраста, описание и диагностика патологических изменений

Возраст смерти ребенка на основании размеров закладок коронок зубов и степени сформированности их корней [Ubelaker, 1989: 71] определен в два года \pm 8 месяцев. Возможной причиной некоторого завышения возрастной оценки В. А. Дрёмовым (ближе к верхним границам доверительного интервала) может быть патологический статус погребенного и, возможно, связанная с этим гетерохрония биологического развития ребёнка.

В процессе исследования привлекли внимание две особенности: открытый передний родничок крупных размеров и очень большая величина нейрокраниума при нормальных для данного возраста параметрах лицевого скелета (рис. 1.-1–3). Величина горизонтальной окружности при измерении через глабеллу составляет 463 мм. Это на 1 мм меньше средней величины того же параметра у современных детей четырех-пяти лет [Сысак, 1960: 37]. Горизонтальная окружность на черепках двух-трехлетних детей на 25–

27 мм меньше, чем на исследуемом черепе [Сысак, 1960: 37; Довгялло, 1937: табл. 3]. Абсолютные размеры переднего родничка (3,15 см), напротив, находятся в интервале средних значений у здоровых 3–6-месячных мальчиков и 1–3-месячных девочек [Esmaeili et al., 2015: 20–23]. Средняя площадь поверхности переднего родничка на черепе из Усть-Алейки составляет 462 мм², что ниже нормального медианного значения у 7–9-месячных детей (472 мм²) и на 315 мм² больше максимального у 22–24-месячных (147,3 мм²) [Pindrik et al., 2014: 1153]. Несоответствия между состоянием родничка и размерами нейрокраниума, с одной стороны, а также возрастом ребенка — с другой, позволяют констатировать их патологическую природу.

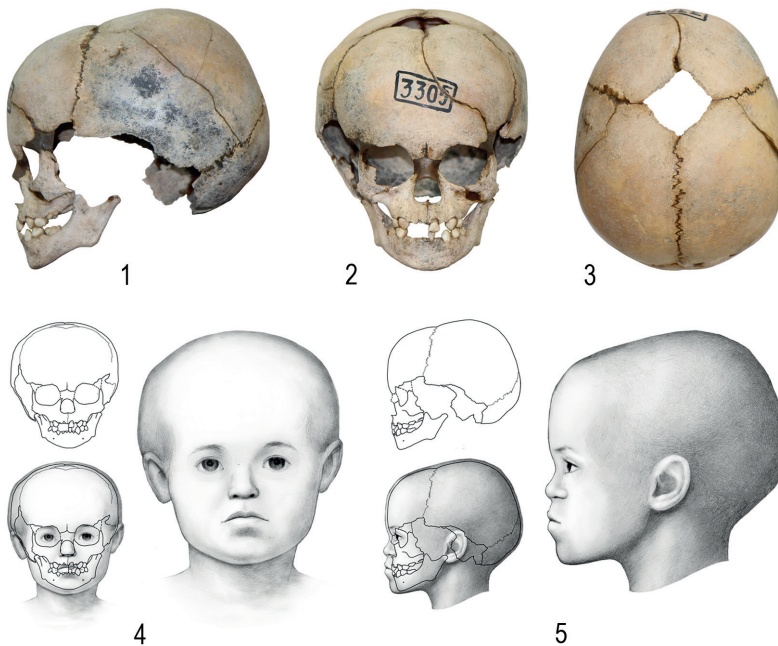


Рис. 1. Череп ребенка из Усть-Алейки-5: 1 – вид сбоку; 2 – вид спереди; 3 – вид сверху; 4 – графическая реконструкция анфас; 5 – графическая реконструкция профиль
 Fig. 1. The Ust-Aleika-5 child cranium: 1 – anterior; 2 – left lateral; and 3 – superior views; 4 – 2D facial reconstruction in anterior; and 5 – left lateral views

Наиболее частой причиной макроцефалии у детей является гидроцефалия (избыточное скопление цереброспинальной жидкости в желудочковой системе головного мозга) [Glass et al., 2004: 512]. Нарушения роста черепа диагностируются путем сравнения полученных метрических характеристик (в частности, максимальной окружности) с данными референтных выборок [Waldron, 2009: 208–209]. Среди других диагностических критериев гидроцефалии: асимметрия и истончение костей черепного свода, усложнение эндокраниального рельефа, большие размеры родничков, частое наличие вормиевых костей в открытых черепных швах, атрофия надглазничного края, уплощение базикраниума и др. [Aufderheide, Rodriguez-Martin, 1998: 57; Lewis, 2018:

27]. Дифференциальная диагностика предполагаемого случая гидроцефалии у ребенка из Усть-Алейки-5 с учетом наиболее детально разработанных критериев [Richards, Anton, 1991] представлена в таблице 1.

Таблица 1

Дифференциальная диагностика предполагаемого случая гидроцефалии

Table 1

Differential osteological diagnosis of probable hydrocephalus

Критерий*	Усть-Алейка-5	СГЦФ**	ОЦФ	САК	СДУ	АС
Форма свода						
А. Общая	Равномерно расширена	Да	Да	Да/нет	Нет	Да
В. Сверху	Пятиугольная	Нет (?)	Нет (?)	Да/нет	Нет	Нет (?)
С. Сбоку	Расширена	Нет	Нет	Да/нет	Да (?)	Да
Область астериона	В норме или несколько увеличена	Нет	Да (?)	?	Да (?)	Да (?)
Положение инииона	В норме	Да	Да	Да	Да	Нет
Черепные швы						
А. Метопический	Полностью закрыт	Нет	Нет (?)	?	?	?
В. Венечный	Открыт	Да	Да	?	?	?
С. Сагиттальный	Открыт	Да	Да (?)	?	?	?
Д. Ламбдовидный	Открыт	Да	Да	?	?	?
Е. Мендозный	Закрыт	Нет	Да	?	?	?
Роднички						
А. Передний	Увеличен	Да	Да	?	Нет	Да
В. Задний	Закрыт (?)	Нет	Да (?)	?	Нет	Да (?)
Задняя черепная ямка	Возможно, была несколько увеличена относительно передней и средней ямок (?)	Да	Да (?)	Нет	Да	Нет
Рельеф эндокрана						
А. Сосуды	Неглубокие отпечатки (?)	Да	Нет	?	?	Нет
В. Борозды и извилины	Неглубокие отпечатки (?)	Да	Нет	?	?	Нет

* Диагностические критерии приводятся по Г. Ричардсу и С. Энтон с изменениями [Richards, Anton, 1991, p. 195].

** СГЦФ — сообщающаяся гидроцефалия; ОЦФ — обструктивная (несообщающаяся) гидроцефалия; САК — мальформация (синдром) Арнольда — Киари; СДУ — синдром Денди — Уокера; АС — акведуктальный стеноз.

Учитывая увеличенные размеры родничка, с наименьшей вероятностью можно предполагать синдром Денди — Уокера, а нормальное относительно франкфуртской горизонтали положение наружного затылочного выступа у ребенка из Усть-Алейки-5 свидетельствует скорее против акведуктального стеноза (сужения водопрово-

да мозга). Учитывая сложность дифференциации, а также отсутствие характерного «нависания» лобных костей в латеральной норме, корректнее вести речь о макроцефалии неизвестной природы [Mann, Hunt, 2012: 63]. Отметим, что величина горизонтальной окружности на макроцефальном черепе из Усть-Алейки-5 на 19 мм меньше, чем максимальная окружность черепа ребенка 1,5–2 лет с диагностированной сообщающейся гидроцефалией из погребения XIV–XVIII вв. в Жумбераке (Хорватия) [Bedić et al., 2019: 6].

Остеометрическое исследование

Остеометрические характеристики посткраниальных элементов представлены в таблице 2 (не подлежавшие измерению признаки не приводятся). Длина левой ключицы попадает в диапазон изменчивости показателя у 12–18-месячных детей, соответствуя максимальному значению признака у 7–12-месячных и превышая минимальное — у двух-трехлетних [Black, Scheuer, 1996: 427]. Регрессионные уравнения для высоты (длины) и ширины левой лопатки дают возрастную оценку 3,6–3,9 лет [Rissech, Black, 2007: 458], что представляется заметно завышенной величиной на данный зубной возраст. Длина диафизов плечевых костей приблизительно соответствует величине 10-го перцентиля у современных полуторагодовалых американских мальчиков по данным рентгенографического обследования [Schaefer, Black, Scheuer, 2009: 174]. Длины диафизов костей предплечья соответствуют или несколько превышают величины 10-го перцентиля современных детей этого же возраста [Schaefer, Black, Scheuer, 2009: 191, 207]. Длина диафиза лучевых костей больше средних величин у современных годовалых и меньше, чем у полуторагодовалых детей согласно результатам другого рентгенологического исследования [Gindhart, 1973: 43]. Наибольшая длина правой подвздошной кости превышает верхнюю границу размаха изменчивости у 1,5–2-летних, а ширина не достигает его нижней границы у двух-трехлетних детей XVIII–XIX вв. [Molleson, Cox, 1993] (цит. по: [Schaefer, Black, Scheuer, 2009: 242]). Наибольшие длины диафизов бедра находятся в области значений 90-го перцентиля современных годовалых американских детей [Schaefer, Black, Scheuer, 2009: 267]. То же касается длин диафизов большеберцовой кости [Schaefer, Black, Scheuer, 2009: 286], которые оказываются даже ниже средних величин у годовалых девочек и мальчиков по другим данным [Gindhart, 1973: 42]. Длина малоберцовых костей соответствует величине 90-го перцентиля современных годовалых мальчиков и слегка превышает величину 10-го перцентиля современных полуторагодовалых девочек [Schaefer, Black, Scheuer, 2009: 302].

Таким образом, при сопоставлении с современными материалами длинные кости нижних конечностей у индивида из Усть-Алейки-5 демонстрируют некоторое замедление роста относительно верхних. С учетом остеометрических характеристик возраст индивида скорее может быть определен в пределах нижней половины вероятного интервала установленного зубного возраста. Длина тела ребенка при экстраполяции формул Ж. Оливье и Л. Пино для плодов на более старшие возраста [Алексеев, 1966: 218] могла составлять величину от $85 \pm 3,6$ см (локтевая кость) до $93 \pm 3,6$ см (бедренная кость).

Таблица 2

Остеометрическая характеристика костей посткраниального скелета

Table 2

Postcranial dimensions

Признак	Правая	Левая
Ключица		
Наибольшая длина	—	60,6
Окружность	17,0	18,0
Лопатка		
Ширина (↔)	—	43,7
Высота (‡)	—	61,9
Плечевая кость		
Наибольшая длина без эпифизов	111,5	111,2
Ширина верхнего метафиза (наименьшая)	17,0	17,4
Ширина верхнего метафиза (наибольшая)	22,8	22,0
Ширина нижнего метафиза	27,6	28,0
Окружность середины диафиза	34,0	33,0
Наименьшая окружность диафиза	32,0	32,0
Лучевая кость		
Наибольшая длина без эпифизов	86,1	85,4
Ширина нижнего метафиза	15,6	16,0
Наименьшая окружность диафиза	20,0	19,0
Локтевая кость		
Наибольшая длина без эпифизов	98,4	98,3
Наименьшая окружность диафиза	19,0	19,0
Подвздошная кость		
Наибольшая длина (↔)	57,7 (?)	—
Наибольшая ширина (‡)	49,8	—
Седлищная кость		
Наибольшая длина (‡)	34,0	33,8
Наибольшая ширина (↔)	24,0	24,0
Бедренная кость		
Наибольшая длина без эпифизов	141,0	139,0
Ширина нижнего метафиза	36,7	37,0
Окружность середины диафиза	36,0	36,0
Большеберцовая кость		
Наибольшая длина без эпифизов	114,0 (?)	115,0
Наибольшая ширина верхнего метафиза	29,5	30,0
Наибольшая ширина нижнего метафиза	18,4	18,5
Наименьшая окружность диафиза	33,0	33,0
Малоберцовая кость		
Наибольшая длина без эпифизов	114,0	114,0
Наименьшая окружность диафиза	17,0	16,0

Сравнительные данные для характеристики вариабельности поперечных и обхватных размеров единичны. Можно лишь отметить, что величины окружности середины диафиза плечевой кости у индивида из Усть-Алейки-5 идентичны таковым у детей раннего возраста (1,5–3 года) из средне- и поздненеолитических слоев стоянки Сахтыш-Па [Федосова, 1997: 71]. Обхват диафиза лучевой кости меньше величины этого признака (21 мм) у ребенка 1,5–2 лет из льяловского погребения 59 этого же памятника [Федосова, 1997: табл. 21].

Краниологический анализ

В таблице 3 представлены измерительные характеристики черепа (отсутствующие признаки не приводятся), вычисленные коэффициенты увеличения и реконструированные «взрослые» размеры. Последние характеризуют череп из Усть-Алейки-5 в соответствии с его патологическим статусом как обладающий очень длинной и очень широкой мозговой капсулой очень большой окружности [Алексеев, Дебеч, 1964: табл. 6, 10]. Для «восстановленных» размеров по рубрикам мужских и женских категорий череп долихо-мезокранный по поперечно-продольному указателю, лоб средней ширины на уровне фронтально-темпоральных точек и широкий на уровне коронарного шва, относительно узкий, затылок среднеширокий. Исходя из мужских категорий размеров лицо среднеширокое, верхняя высота его малая, полная — средняя. Для женских черепов лицевой отдел очень широкий и средневысокий. Безотносительно к возможной половой принадлежности альвеолярная дуга очень длинная и относительно узкая, нёбо очень широкое, орбиты неширокие, абсолютно и относительно очень низкие. Носовой отдел детского черепа с довольно выступающей передненосовой остью (3 балла), для взрослых категорий характеризуется небольшими размерами и средними пропорциями (женщины) или относительно большой его шириной (мужчины). Большинство «взрослых» размеров нижней челюсти малые для мужских черепов и средние для женских. Лицевой отдел характеризуется средней горизонтальной профилировкой на назо-малярном уровне и значительной на зиго-максиллярном [Алексеев, Дебеч, 1964: табл. 4–11]. Обращает на себя внимание сочетание среднешироких, абсолютно и относительно высоких носовых костей и малого угла выступания носа к лицевому профилю и в мужских, и в женских категориях размеров. Отчасти это может объясняться тем, что соответствующие (и тем более «восстановленные») размеры взяты по реставрированным элементам (рис. 1.-1–2). Однако в данном случае важны не только абсолютные значения соответствующих размеров и указателей, но их соотношения. Графический портрет ребенка из неолитического погребения позволяет составить впечатление о его внешнем облике и особенностях (рис. 1.-4–5).

В целом, краниум из Усть-Алейки-5 характеризуется крупными основными горизонтальными диаметрами, очевидно, обусловленными имеющимися патологическими изменениями. Вместе со среднешироким лбом и относительно широким невысоким лицевым отделом сочетание умеренной горизонтальной профилировки лица с относительно высоким переносом и слабым выступанием носа на исследуемом черепе заставляет обратиться к краниологическим материалам популяций западно-сибирской расы [Багашёв, 2017], для которых такое нарушение корреляции признаков является типологической характеристикой. Сходная комбинация фиксируется на черепах из лесостепи

Западной Сибири, по крайней мере, с периода неолита-энеолита [Багашёв, 2017; Чикишева, 2012; Солодовников, Багашев, Савенкова, 2020].

Таблица 3

Краниометрическая характеристика

Table 3

Cranial and mandibular dimensions

Признак	Подлинные размеры	Коэффициент увеличения	«Взрослые» размеры
1. Продольный диаметр	162	1,198	194,1
8. Поперечный диаметр	134	1,111	148,9
8:1. Черепной указатель	82,7		76,7
9. Наименьшая ширина лба*	80,5(??)	1,197	96,3
Sub. 9. Высота поперечного изгиба лба	18,1(?)		
∠ ПИЛ. Угол поперечного изгиба лба	131,6(?)		
9:8. Лобно-поперечный указатель	60,1		64,7
10. Наибольшая ширина лба	110	1,129	124,1
9:10. Лобный указатель	73,2(?)		77,6
12. Ширина затылка	96	1,117	107,3
23. Горизонтальная окружность через <i>g</i>	463	1,165	539,3
48. Верхняя высота лица	41(??)	1,615	66,2
47. Полная высота лица*	71(??)	1,639	116,4
43. Верхняя ширина лица*	82(?)	1,312	107,6
46. Средняя ширина лица*	69	1,440	99,4
60. Длина альвеолярной дуги*	40	1,644	65,8
61. Ширина альвеолярной дуги*	49	1,303	63,9
61:60. Челюстно-альвеолярный указатель	122,5		97,1
63. Ширина нёба	33,7(?)	1,368	46,1
51. Ширина орбиты от <i>mf</i> *	32,4(?)	1,242	40,2
52. Высота орбиты	24,5(??)	1,147	28,1
52:51. Орбитный указатель от <i>mf</i>	75,6(?)		69,9
55. Высота носа	28,5(??)	1,605	45,7
54. Ширина носа	16,5	1,434	23,7
54:55. Носовой указатель	57,9(?)		51,9
SC. Симотическая ширина*	8,3(??)	1,127	9,35
SS. Симотическая высота*	3,1(??)	2,100	6,51
SS: SC. Симотический указатель	37,3(?)		69,6
MC. Максиллофронтальная ширина	17,5(??)		
MS. Максиллофронтальная высота	5,9(??)		
MS: MC. Максиллофронтальный указатель	33,7(?)		
FC. Глубина клыковой ямки	1,5		

Окончание таблицы 3

Hз. Высота изгиба скуловой кости	6,4		
Bz. Ширина скуловой кости	33,3		
Ihz. Указатель изгиба скуловой кости	19,2		
43 (1). Биорбитальная ширина*	77,9	1,243	96,8
IOW sub. Высота назиона	14,3(?)		
77. Назо-малярный угол*	139,7(?)	1,019	142,3
Zm'–Zm'. Зигмаксиллярная ширина	66,9		
Выс. ss. Высота субспинале	18,0		
∠ Zm'. Зиго-максиллярный угол*	123,4	1,038	128,2
75 (1). Угол выступания носа*	15(?)	1,315	19,7
68. Длина нижней челюсти от углов*	43	1,642	70,6
70. Высота ветви нижней челюсти*	33	1,857	61,3
71а. Наименьшая ширина ветви*	21,8	1,468	32,0
65. Мыщелковая ширина*	83	1,390	115,4
66. Угловая ширина	66	1,457	96,2
67. Передняя ширина*	34,0	1,306	44,4
69. Высота симфиза*	22,2	1,559	34,6
69 (1). Высота тела нижней челюсти*	18,9	1,934	36,6
69 (3). Толщина тела нижней челюсти*	10,0	1,119	11,2

* Размеры взяты только по Н.С. Сысаку [1960].

Более объективно оценить морфологические особенности находки из Усть-Алейки-5 позволяет межгрупповое статистическое сравнение. Поскольку половая принадлежность исследуемого черепа не ясна, для анализа использованы одновременно мужские и женские краниологические серии мезолита, неолита и энеолита центральных регионов севера Евразии, данные о которых приводятся в работе [Солодовников и др., 2019: табл. 4]. По результатам канонического анализа с использованием «восстановленных» значений 13-ти имеющихся на черепе из Усть-Алейки-5 признаков¹, первый канонический вектор (КВ I, 34% межгрупповой изменчивости) фактически разделяет североевразийские группы по морфологическому вектору «запад-восток». Анализируемая краниологическая находка вместе с сериями неолита-энеолита из западносибирской лесостепи независимо от их половой принадлежности занимает по КВ I среднее положение между, с одной стороны, европеоидными краниологическими сериями лесной и лесостепной полосы Восточной Европы добронзовой эпохи, и с другой — сериями с преобладанием монголоидной специфики неолита Восточной Сибири, а также горных и предгорных областей Алтае-Саян (рис. 2). Такое же промежуточное положение занимает мужская серия из могильника Тумек-Кичиджик кельтеминарской культуры Приаралья, сближаясь с анализируемой краниологической находкой и по КВ II.

¹ Номера по Мартину и другие обозначения: 1, 8, 9, 48, 55, 54, 51, 52, 77, ∠Zm', SC, SS, 75 (1).

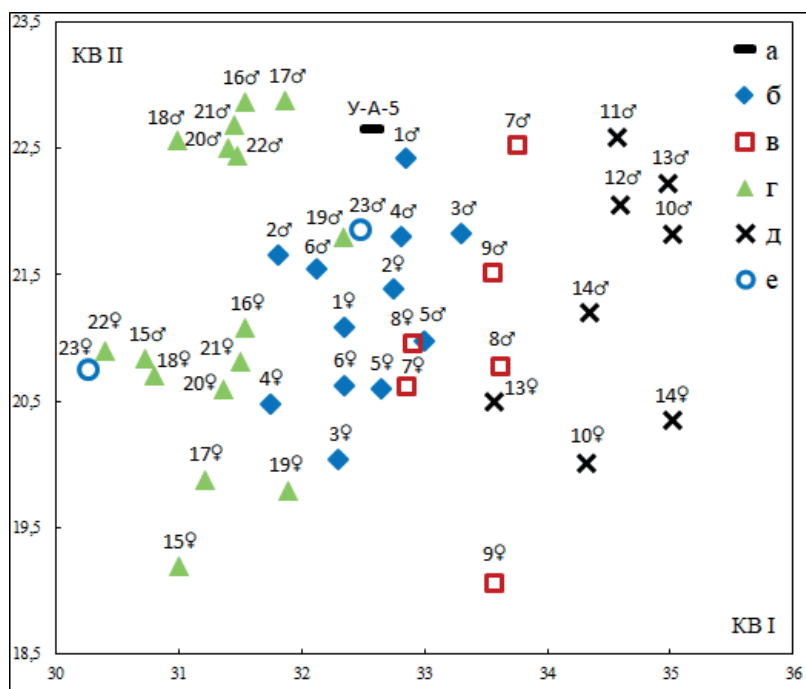


Рис. 2. Положение краниума из Усть-Алейки-5 и сравнительных серий в пространстве I–II канонических векторов (KB I–II). Обозначения: а – Усть-Алейка-5; б – Западная Сибирь; в – Южная Сибирь; г – север Восточной Европы и Урал; д – Восточная Сибирь; е – Приаралье: 1 – неолит-энеолит Среднего Прииртышья; 2 – энеолит лесостепного Тоболо-Ишимья; 3 – неолит Барабинской лесостепи; 4 – неолит-энеолит Новосибирско-Каменского Приобья; 5 – неолит Кузнецкой котловины; 6 – неолит-энеолит Барнаульско-Бийского Приобья; 7 – неолит северных предгорий Алтая; 8 – неолит Горного Алтая; 9 – неолит-энеолит Красноярско-Канской лесостепи; 10 – китойская культура Ангары; 11 – китойская культура Верхней Лены; 12 – исаковская культура Ангары; 13 – серовская культура Ангары; 14 – серовская культура Верхней Лены; 15 – мезолит и неолита Урала; 16 – мезолит и неолит лесостепного Приуралья; 17 – энеолит Прикамья; 18 – энеолит лесостепного Поволжья; 19 – культуры ямочно-гребенчатой керамики севера Восточной Европы; 20 – волосовская культура Волго-Окского междуречья; 21 – мезолит и неолит Прибалтики; 22 – мезолит северо-запада Русской равнины; 23 – Тумек-Кичиджик, кельтеминарская культура Прикаспия

Fig. 2. 2D plot for first two canonical vectors (CV I and II), showing position of the Ust-Aleika-5 cranium among comparative samples. Designations: a – Ust-Aleika-5; b – Western Siberia; c – Southern Siberia; d – North of Eastern Europe and the Urals; d – Eastern Siberia; e – Aral Sea region: 1 – Neolithic-Eneolithic of the Middle Irtysh region; 2 – Eneolithic of the forest-steppe Tobol – Ishim; 3 – Neolithic of the Baraba Lowland; 4 – Neolithic-Eneolithic of the Novosibirsk-Kamen Ob region; 5 – Neolithic of the Kuznetsk basin; 6 – Neolithic-Eneolithic of the Barnaul-Biysk Ob region; 7 – Neolithic of the northern foothills of Altai; 8 – Neolithic of the Altai Mountains; 9 – Neolithic-Eneolithic of the Krasnoyarsk-Kansk forest-steppe; 10 – Kitoi culture

of Angara; 11 – Kitoi culture of Upper Lena; 12 – Isakovo culture of Angara; 13 – Serovo culture of Angara; 14 – Serovo culture of Upper Lena; 15 – Mesolithic and Neolithic of the Urals; 16 – Mesolithic and Neolithic of the Pre-Urals forest – steppe; 17 – Eneolithic of the Kama region; 18 – Eneolithic of the Volga forest-steppe region; 19 – Comb Ceramic culture of the north of Eastern Europe; 20 – Volosovo culture of the Volga – Oka interfluvium; 21 – Mesolithic and Neolithic of the East Baltic; 22 – Mesolithic of the north-west of the Russian plain; 23 – Tumek-Kichijik, Kelteminar culture of the Caspian Sea

Второй канонический вектор (17% межгрупповой изменчивости) фактически служит разделению мужских и женских групп, поэтому трансгрессия по нему разнополюх серий минимальна. По значениям КВ II череп из Усть-Алейки-5 с реконструированными размерами демонстрирует определенно «мужские» значения, морфологически сближаясь, помимо черепов из могильника Тумек-Кичиджик, с территориально наиболее близкими группами из исследованных краниологических материалов: неолита Барнаульско-Бийского и Новосибирско-Каменского Приобья, Барабинской лесостепи и, особенно — неолита-энеолита Среднего Прииртышья (рис. 2). По результатам кластерного анализа череп из Усть-Алейки-5 объединяется с мужскими черепами кельтеминарской культуры, вместе с ними присоединяясь к большинству других западносибирских и лесных/лесостепных восточноевропейских групп и отличаясь от большинства южно- и восточносибирских.

Одонтологическое исследование

Одонтоскопическое обследование молочных зубов (рис. 3.-1-2) показало отсутствие лопатообразности на резцах (балл 0) и бугорка Карабелли на молярах. На вторых молярах отмечены дополнительные мезиальные бугорки. Молочные первые нижние моляры 5-бугорковые, с «У» — типом контакта, хорошо развитым цингулюмом (*tuberculum molare*) и передними ямками. Вторые нижние моляры 6-бугорковые, с «У» — узором коронки, на них присутствуют передние и задние ямки и отсутствуют дистальный гребень тригониды и коленчатая складка метакониды.



Рис. 3. Зубная система индивида из Усть-Алейки-5: 1 — верхняя челюсть; 2 — нижняя челюсть; 3 — закладка левого постоянного первого нижнего моляра; 4 — закладка правого постоянного первого нижнего моляра

Fig. 3. Dental system of Ust-Aleika-5 individual: 1 — maxilla inferior view; and 2 — mandible superior view; 3 — crowns of the left; and 4 — right lower permanent first molars

На закладках постоянных центральных верхних резцов краевые гребни лингвальной поверхности крайне слабо развиты (лопатообразность — балл 1). Постоянные верхние первые моляры не редуцированы (метаконус — балл 1 и гипоконус — балл 4). На них присутствует дополнительный дистальный и мезиальный бугорок. Косой гребень прерван. Первая борозда параконуса изогнутой формы (тип 1), соотношение точек впадения первых борозд метаконуса и параконуса относится к типу 3.

Закладки коронок постоянных первых нижних моляров б-бугорковые, с «У» — узором коронки и ямкой протостилида (рис. 3.-3-4). Дистальный гребень тригониды, t_{ami} , 2_{med} (II) и коленчатая складка метакониды отсутствуют. Хотя осевой гребень метакониды изогнут, он расщеплен поперечной бороздой таким образом, что на левом зубе формируется полностью независимый центральный бугорок, а на правом он соединен с основным гребнем только тонкой перемычкой. Зафиксирован вариант 1 соотношения точек впадения первых борозд метакониды и протокониды. Метрические характеристики зубов (табл. 4) относят погребенного к мезодонтной категории.

Таблица 4

Метрические характеристики коронок постоянных первых моляров

Table 4

Dimensions of the permanent maxillary and mandibular first molars

Признак	Правая	Левая
M^1 md cor	10,75	10,55
M^1 vl cor	10,45	10,43
Индекс коронки M^1	97,0	98,9
Модуль коронки M^1	10,6	10,5
M_1 md cor	11,45	11,34
M_1 vl cor	10,43	10,33
Индекс коронки M_1	91,1	91,1
Модуль коронки M_1	10,9	10,8

Сравнение с хронологически близкими находками с территории Западной Сибири показало, что от серий с территории Алтае-Саянского нагорья ребенок из Усть-Алейки отличается отсутствием лопатообразности, отмеченной на всех центральных резцах из следующих могильников: Лебедь-2, Васьково, пещера Каминная, Усть-Иша, Иткуль, Солонцы-5 [Зубова, Чикишева, 2015а: табл. 3]. По этому показателю он ближе к сериям из Барабинской лесостепи, где частота этого признака составляет от 0 до 50% [Зубова, Чикишева, 2015а: табл. 3]. Наличие и отсутствие у погребенного других признаков восточного ствола в данном случае не показательны, поскольку на индивидуальном уровне они могут присутствовать или отсутствовать как в Барабе, так и в Алтае-Саянских сериях.

Также на молочных нижних молярах ребенка из Усть-Алейки присутствуют передние и задние ямки, являющиеся маркерами южносибирского верхнепалеолитического комплекса [Зубова, Чикишева, 2015б; Зубова, Кривошапкин, Шалагина, 2017]. В составе большинства неолитических серий с территории Алтае-Саянского нагорья характе-

ристики этого комплекса отсутствуют, или выражены очень слабо [Зубова, Чикишева, 2015а: табл. 3], тогда как у населения Барабинской лесостепи фиксируются в полном объеме. В целом, результаты анализа одонтологических характеристик ребенка из Усть-Алейки-5 дают возможность полагать, что у него сохранились особенности более древнего, чем неолитического населения юга Западной Сибири, со смягченной выраженностью «восточных» признаков и длительным сохранением архаичных особенностей. В неолитических сериях с территории Алтае-Саянского нагорья доминирует комплекс с яркой выраженностью признаков восточного одонтологического ствола и очень низкими частотами маркеров архаики или их отсутствием. По мезио-дистальным и вестибуло-лингвальным диаметрам коронок постоянных первых верхних и нижних моляров индивид из Усть-Алейки-5 (табл. 4) в целом близок к людям периода неолита Барабинской лесостепи и Алтае-Саянского нагорья.

Выводы

1. Исследованный скелет индивида из погребения 2 периода неолита могильника Усть-Алейка-5 в Верхнем Приобье в соответствии с зубным возрастом принадлежал ребенку в возрасте 2 года \pm 8 мес.

2. Реставрированный краниум ребенка характеризуется макроцефалией и открытым передним родничком крупных для данного возраста размеров. Вероятной причиной макроцефалии могла являться одна из форм гидроцефалии (водянки головного мозга).

3. Длинные кости нижних конечностей у индивида из Усть-Алейки-5 характеризуются некоторым замедлением роста относительно верхних. При этом выраженные патологические изменения на костях посткраниального скелета отсутствуют. Остеометрические характеристики в целом соответствуют установленному зубному возрасту, находясь ближе к пределам нижней половины доверительного интервала последнего при сопоставлении с современными материалами.

4. По краниометрическим данным индивид принадлежит к антропологическому пласту автохтонного населения центральных регионов Евразии с промежуточными европеоидно-монголоидными параметрами в строении лицевого отдела. Наибольшее морфологическое сходство прослеживается с группами неолита-энеолита Среднего Прииртышья, Верхнего Приобья, Барабинской лесостепи, а также Приаралья.

5. Одонтологическая характеристика ребенка из Усть-Алейки-5 демонстрирует морфологическое сходство с населением неолита южной части Западной Сибири, а также позволяет говорить о его связи с древнейшим морфо-генетическим пластом автохтонного населения современного типа данного региона.

Благодарности и финансирование

Выражаем искреннюю признательность кандидату исторических наук, старшему научному сотруднику Музея антропологии и этнографии РАН им. Петра Великого (Кунсткамера) А. В. Зубовой за ценные консультации, а также доктору биологических наук, ведущему научному сотруднику НИИ и Музея антропологии им. Д. Н. Анучина Московского государственного университета им. М. В. Ломоносова А. А. Евтеева и научному сотруднику Красноярского государственного медицинского университета им. проф. В. Ф. Войно-Ясенецкого Т. М. Савенковой за помощь в нахождении литературных данных.

Исследование подготовлено по госзаданию FWRZ-2021–0006 (Солодовников К. Н., Слепцова А. В.), в соответствии с планами научно-исследовательских работ Института этнологии и антропологии РАН (Куфтерин В. В.), и за счет гранта РФФ, проект № 24–28–01030 (Кирюшин К. Ю.).

Acknowledgments and funding

We express our sincere gratitude to Dr. Alisa Zubova (Peter the Great Museum of Anthropology and Ethnography (the Kunstkamera)) for her useful comments and suggestions for improving the manuscript, as well as Dr. Andrey Evteev (Lomonosov Moscow State University, Anuchin Research Institute and Museum of Anthropology) and Tatyana Savenkova (Krasnoyarsk State Medical University) for providing some literature sources. The study was conducted in accordance with Russian State Assignment (Grant) No. FWRZ-2021–0006 (Solodovnikov K. N., Sleptsova A. V.), the research plans of the N. N. Miklukho-Maklai Institute of Ethnology and Anthropology RAS (Kufterin V. V.), and was supported by Russian Science Foundation (RSF), Grant Number: 24–28–01030 (Kiryushin K. Yu.).

Список сокращений

АЭАЕ — Археология, этнография и антропология Евразии
ВААЭ — Вестник археологии, антропологии и этнографии
КА ТГУ — Кабинет Антропологии им. Н. С. Розова Томского государственного университета

БИБЛИОГРАФИЧЕСКИЙ СПИСОК

Алексеев В. П. Остеометрия. Методика антропологических исследований. М. : Наука, 1966. 251 с.

Алексеев В. П. Палеоантропология земного шара и формирование человеческих рас. Палеолит. М. : Наука, 1978. 284 с.

Алексеев В. П., Дебец Г. Ф. Краниометрия: Методика антропологических исследований. М. : Наука, 1964. 128 с.

Багашёв А. Н. Антропология Западной Сибири. Новосибирск : Наука, 2017. 408 с.

Бородаев В. Б., Кирюшин К. Ю., Кузменкин Д. В., Солодовников К. Н. Украшения из раковин моллюсков рода *Unio* в неолитическом погребении могильника Усть-Алейка-5 (Барнаульское Приобье) // Археология, этнография и антропология Евразии. 2022. Т. 50. № 1. С. 48–56.

Герасимов М. М. Основы восстановления лица по черепу. М. : Советская наука, 1949. 188 с.

Герасимов М. М. Восстановление лица по черепу (Современный и ископаемый человек). М. : Наука, 1955. 586 с.

Довгялло Н. Д. О росте черепа человека // Архив анатомии, гистологии и эмбриологии. 1937. Т. XVII. № 1. С. 30–71.

Зубов А. А. Одонтология: методика антропологических исследований. М. : Наука, 1968. 200 с.

Зубов А. А. Методическое пособие по антропологическому анализу одонтологических материалов. М. : Этно-Онлайн, 2006. 72 с.

Зубова А. В. Предварительные результаты изучения архаичной составляющей одонтологических комплексов населения Евразии эпохи неолита // Вестник антропологии. 2013. № 4 (26). С. 107–127.

Зубова А. В., Кривошапкин А. И., Шалагина А. В. Палеоантропологические материалы из пещеры Страшной на Горном Алтае в контексте одонтологической дифференциации населения Сибири эпохи камня // Археология, этнография и антропология Евразии. 2017. Т. 45. № 3. С. 136–145.

Зубова А. В., Чикишева Т. А. Антропологический состав неолитического населения юга Западной Сибири по одонтологическим материалам // Археология, этнография и антропология Евразии. 2015а. Т. 43. № 3. С. 116–127.

Зубова А. В., Чикишева Т. А. Морфологический комплекс зубов человека со стоянки Афонтова Гора II и его положение в системе одонтологической дифференциации верхнепалеолитического населения Северной Евразии // Археология, этнография и антропология Евразии. 2015б. Т. 43. № 4. С. 135–143.

Карапетян М. К., Куфтерин В. В. К разработке программы палеоантропологического исследования // Вестник Московского университета. Серия XXIII. Антропология. 2020. № 1. С. 72–86.

Козинцев А. Г. Основные направления популяционной динамики в Северной Евразии от мезолита до эпохи ранней бронзы (по данным краниологии и генетики) // Археология, этнография и антропология Евразии. 2021. Т. 49, № 4. С. 140–151.

Лебединская Г. В. Реконструкция лица по черепу (методическое руководство). М. : Старый сад, 1998. 125 с.

Лейбова Н. А., Лейбов М. Б. Антропологическая фотография в цифровом мире // Вестник археологии, антропологии и этнографии. 2022. № 4 (59). С. 132–146.

Никитин С. А. Пластическая реконструкция портрета по черепу // Некрополь русских великих княгинь и цариц в Вознесенском монастыре Московского кремля. М. : Изд-во музеев Московского кремля, 2009. Т. 1. С. 137–167.

Солодовников К. Н., Багашев А. Н., Савенкова Т. М. Ареалы антропологических общностей населения неолита Юга Западной и Средней Сибири // Вестник Томского государственного университета. История. 2020. № 68. С. 158–167.

Солодовников К. Н., Багашев А. Н., Тур С. С., Громов А. В., Нечвалода А. И., Кравченко Г. Г. Источники по палеоантропологии неолита — энеолита среднего Прииртышья // Вестник археологии, антропологии и этнографии. 2019. № 3 (46). С. 116–136.

Сысак Н. С. Материалы для возрастной морфологии черепа человека // Антропологический сборник II. М.; Л.: Изд-во АН СССР, 1960. С. 29–41.

Федосова В. Н. Некоторые аспекты исследования процессов роста и развития в палеопопуляциях (на примере неолитической стоянки Сахтыш-Па) // Неолит лесной полосы Восточной Европы (неолит Сахтышских стоянок). М. : Научный мир, 1997. С. 69–74.

Хохлов А. А. К вопросу об особой евразийской формации // Вестник антропологии 1996. Вып. 2. С. 129–146.

Хохлов А. А. О происхождении и дальнейшем развитии физического типа носителей синташтинско-потаповского круга культур // Аркаим — Синташта: древнее насле-

дие Южного Урала: к 70-летию Геннадия Борисовича Здановича. Челябинск: Изд-во Челябинского государственного университета, 2010. Ч. 2. С. 112–132.

Худавердян А. Ю., Гаспарян Б. З., Пинхаси Р., Канаян А. С., Ованесян Н. А. Комплексное исследование антропологических материалов позднего энеолита из пещеры Арени 1 // Вестник археологии, антропологии и этнографии. 2017. № 2 (37). С. 72–93.

Чижишева Т. А. Динамика антропологического состава населения юга Западной Сибири в эпохи неолита — раннего железа. Новосибирск : Изд-во ИАЭТ СО РАН, 2012. 468 с.

Чижишева Т. А., Поздняков Д. В. Заселение Барабинской лесостепи в эпоху неолита по антропологическим данным // Археология, этнография и антропология Евразии. 2021. Т. 49. № 1. С. 133–145.

Яблонский Л. Т. Серия черепов из раннеславянского городища у с. Супруты // Вопросы антропологии. 1977. Вып. 54. С. 190–211.

Яблонский Л. Т. Краниология Шагарского могильника // Древности Оки. Вып. 85. М. : ГИМ, 1994. С. 158–172.

Aufderheide A. C., Rodríguez-Martín C. The Cambridge encyclopedia of human paleopathology. New York: Cambridge University Press, 1998. XVIII+478 p. (in English).

Bedić Ž., Azinović Bebek A., Čavka M., Šlaus M. A case of hydrocephalus in a child from early modern period Žumberak, Croatia // International Journal of Paleopathology. 2019. Vol. 26. P. 1–7 (in English).

Black S., Scheuer L. Age changes in the clavicle: From the early neonatal period to skeletal maturity // International Journal of Osteoarchaeology. 1996. Vol. 6. P. 425–434 (in English).

Brachetta-Aporta N., Gonzalez P.N., Bernal V. Association between shape changes and bone remodeling patterns in the middle face during ontogeny in South American populations // The Anatomical Record: Advances in Integrative Anatomy and Evolutionary Biology. 2021. Vol. 305 (1). P. 156–169 (in English).

Esmaili Mo., Esmaili Ma., Ghane Sharbaf F., Bokharaie Sh. Fontanel size from birth to 24 months of age in Iranian children // Iranian Journal of Child Neurology. 2015. Vol. 9 (4). P. 15–23 (in English).

Freidline S.E., Gunz P., Harvati K., Hublin J.-J. Evaluating developmental shape changes in Homo antecessor subadult facial morphology // Journal of Human Evolution. 2013. Vol. 65 (4). P. 404–423 (in English).

Gindhart P.S. Growth standards for the tibia and radius in children aged one month through eighteen years // American Journal of Physical Anthropology. 1973. Vol. 39. P. 41–48 (in English).

Glass R. B. J., Fernbach S. K., Norton K. I., Choi P. S., Naidich T. P. The infant skull: A vault of information // RadioGraphics. 2004. Vol. 24. P. 507–522 (in English).

Lewis M. Paleopathology of children: Identification of pathological conditions in the human skeletal remains of non-adults. London: Academic Press, 2018. XI+288 p. (in English).

Mann R. W., Hunt D. R. Photographic regional atlas of bone disease: A guide to pathologic and normal variation in the human skeleton. Springfield: Charles C Thomas Publisher, 2012. XVI+416 p. (in English).

Molleson T., Cox M. The Spitalfields Project. The Middling Sort. Vol. 2: Anthropology. London: Council for British Archaeology Research report no. 86, 1993. 231 p. (in English).

Pindrik J., Ye X., Ji B. G., Pendleton C., Ahn E. S. Anterior fontanelle closure and size in full-term children based on head computed tomography // *Clinical Pediatrics*. 2014. Vol. 53 (12). P. 1149–1157 (in English).

Richards G. D., Anton S. C. Craniofacial configuration and postcranial development of a hydrocephalic child (ca. 2500 B. C. — 500 A. D.): With a review of cases and comment on diagnostic criteria // *American Journal of Physical Anthropology*. 1991. Vol. 85. P. 185–200 (in English).

Rissech C., Black S. Scapular development from the neonatal period to skeletal maturity: A preliminary study // *International Journal of Osteoarchaeology*. 2007. Vol. 17. P. 451–464 (in English).

Schaefer M., Black S., Scheuer L. *Juvenile osteology: A laboratory and field manual*. London: Academic Press, 2009. — XII+369 p. (in English).

Schuh A., Kupczik K., Gunz P., Hublin J.-J., Freidline S. E. Ontogeny of the human maxilla: a study of intra-population variability combining surface bone histology and geometric morphometrics // *Journal of Anatomy*. 2019. Vol. 235. P. 233–245 (in English).

Ubelaker D. H. *Human skeletal remains: Excavation, analysis, interpretation* (2nd ed.). Washington, DC: Taraxacum, 1989. XI+172 p. (in English).

Waldron T. *Paleopathology*. New York: Cambridge University Press, 2009. XVII+279 p. (in English).

REFERENCES

Alekseev V. P. *Osteometriia. Metodika antropologicheskikh issledovaniï* [Osteometry. Methodology of anthropological research], Moscow: Nauka, 1966, 251 p. (in Russian).

Alekseev V. P. *Paleoantropologiya zemnogo shara i formirovanie chelovecheskikh ras. Paleolit* [Paleoanthropology of the globe and the formation of human races. Paleolithic], Moscow: Nauka, 1978, 284 p. (in Russian).

Alekseev V. P., Debets G. F. *Kraniometriia: Metodika antropologicheskikh issledovaniï* [Cranio-metry: Methodology of anthropological research]. Moscow: Nauka, 1964, 128 p. (in Russian).

Bagashev A. N. *Antropologiya Zapadnoi Sibiri* [Anthropology of Western Siberia]. Novosibirsk: Nauka, 2017, 408 p. (in Russian).

Borodaev V. B., Kiriushin K. Iu., Kuzmenkin D. V., Solodovnikov K. N. Ornaments Made from Unio Shells in a Neolithic Burial at Ust-Aleika-5, Barnaul, Southwestern Siberia. *Archaeology, Ethnology & Anthropology of Eurasia*, 2022, vol. 50, no. 1. P. 48–56.

Chikisheva T. A. *Dinamika antropologicheskogo sostava naseleniia iuga Zapadnoi Sibiri v epokhi neolita — rannego zheleza* [Dynamics of anthropological composition of the population of the south of Western Siberia in the Neolithic-Early Iron Age]. Novosibirsk: Institute of Archaeology and Ethnography SB RAS Publ., 2012, 468 p. (in Russian).

Chikisheva T. A., Pozdniakov D. V. The Peopling of the Baraba Forest-Steppe in the Neolithic: Cranial Evidence. *Archaeology, Ethnology & Anthropology of Eurasia*. 2021, vol. 49, no. 1. P. 133–145 (in Russian).

Dovgiallo N. D. O roste cherepa cheloveka [About the growth of the human skull]. *Arkhiv anatomii, gistologii i embriologii* [Archive of Anatomy, Histology and Embryology]. 1937, vol. XVII, no. 1. P. 30–71 (in Russian).

Fedosova V. N. Nekotorye aspekty issledovaniia protsessov rosta i razvitiia v paleopopulatsiakh (na primere neoliticheskoi stoiianki Sakhtysh-IIa) [Some aspects of the study of growth and development processes in paleopopulations (on the example of the Neolithic site Sakhtysh-IIa)]. *Neolit lesnoi polosy Vostochnoi Evropy (neolit Sakhtyshskikh stoiianok)* [Neolithic of the forest zone of Eastern Europe (Neolithic of the Sakhtysh sites)]. Moscow: Nauchnyi mir, 1997. P. 69–74 (in Russian).

Gerasimov M. M. *Osnovy vosstanovleniia litsa po cherepu* [The basics of facial reconstruction from the skull]. Moscow: Sovetskaya nauka, 1949, 188 p. (in Russian).

Gerasimov M. M. *Vosstanovlenie litsa po cherepu (Sovremennyyi i iskopaemyi chelovek)* [Reconstructing a face from a skull (Modern and Fossil Man)]. Moscow: Nauka, 1955, 586 p. (in Russian).

Karapetian M. K., Kufferin V. V. K razrabotke programmy paleoauksologicheskogo issledovaniia [Developing the protocol for paleoanthropological study]. *Vestnik Moskovskogo universiteta, series XXIII. Antropologiya* [Moscow University Anthropology Bulletin]. 2020, no. 1. P. 72–86 (in Russian).

Khokhlov A. A. K voprosu ob osobi evraziiskoi formatsii [On the question of a special Eurasian formation]. *Vestnik antropologii* [Bulletin of Anthropology]. 1996, issue 2. P. 129–146 (in Russian).

Khokhlov A. A. O proiskhozhdenii i dal'neishem razvitiie fizicheskogo tipa nositelei sintashtinsko-potapovskogo kruga kul'tur [On the origin and further development of the physical type of the carriers of the Sintashtinsky-Potapov circle of cultures]. *Arkaim — Sintashta: drevnee nasledie Iuzhnogo Urala: k 70-letiiu Gennadiia Borisovicha Zdanovicha. Chast' 2* [Arkaim — Sintashta: the ancient heritage of the Southern Urals: on the 70th anniversary of Gennadiy Borisovich Zdanovich. Part 2]. Cheliabinsk: Chelyabinsk State University Publ., 2010. P. 112–132 (in Russian).

Khudaverdyan A. Yu., Gasparyan B. Z., Pinhasi R., Kanayan A. S., Hovanesyan N. A. A comprehensive study of anthropological materials of the Late Eneolithic from the Areni 1 cave. *Vestnik arkheologii, antropologii i etnografii*, 2017, no. 2 (37). P. 72–93 (in Russian).

Kozintsev A. G. Patterns in the Population History of Northern Eurasia from the Mesolithic to the Early Bronze Age, Based on Craniometry and Genetics. *Archaeology, Ethnology & Anthropology of Eurasia*, 2021, vol. 49, no. 4. P. 140–151.

Lebedinskaia G. V. *Rekonstruktsiia litsa po cherepu (metodicheskoe rukovodstvo)* [Facial reconstruction from the skull (methodological guide)], Moscow: «Staryi sad» Publ., 1998, 125 p. (in Russian).

Leibova N. A., Leibov M. B. Antropologicheskaya fotografiia v tsifrovom mire [Anthropological photography in a digital world]. *Vestnik arkheologii, antropologii i etnografii* [Bulletin of archaeology, anthropology and ethnography]. 2022, no. 4 (59). P. 132–146 (in Russian).

Nikitin S. A. Plasticheskaya rekonstruktsiia portreta po cherepu [Plastic reconstruction of a skull portrait]. *Nekropol' russkikh velikikh kniagin' i tsarits v Voznesenskom monastyre Moskovskogo kremlia* [Necropolis of Russian Grand Duchesses and Queens in the Ascension Monastery of the Moscow Kremlin]. Moscow: Muzei Moskovskogo Kremlya Publ., 2009, vol. 1. P. 137–167 (in Russian).

Solodovnikov K. N., Bagashev A. N., Savenkova T. M. Arealy antropologicheskikh obshchnostei naseleniia neolita Iuga Zapadnoi i Srednei Sibiri [Areal of anthropological communities of the Neolithic population of the South of Western and Middle Siberia]. *Vestnik Tomskogo gosudarstvennogo universiteta. Istoriiia* [Journal of Tomsk state university. History]. 2020, no. 68. P. 158–167 (in Russian).

Solodovnikov K. N., Bagashev A. N., Tur S. S., Gromov A. V., Nechvaloda A. I., Kravchenko G. G. Istochniki po paleoantropologii neolita — eneolita srednego Priirtysh'ia [Neolithic-Eneolithic paleoanthropological sources from the Middle Irtysh area]. *Vestnik arkheologii, antropologii i etnografii* [Bulletin of archaeology, anthropology and ethnography]. 2019, no. 3 (46). P. 116–136 (in Russian).

Sysak N. S. Materialy dlia vozzrastnoi morfologii cherepa cheloveka [Materials for age-related morphology of the human skull]. *Antropologicheskii sbornik II* [Anthropological collection II]. Moscow; Leningrad: AS USSR Publ., 1960. P. 29–41 (in Russian).

Yablonskii L. T. Kraniologiiia Shagarskogo mogil'nika [Craniology of the Shagar burial ground]. *Drevnosti Oki* [Antiquities of the Oka]. Moscow: State Historical Museum Publ., 1994. P. 158–172 (in Russian).

Yablonskii L. T. Seriiia cherepov iz ranneslavianskogo gorodishcha u s. Supruty [A series of skulls from the Early Slavic settlement near Supruty village]. *Voprosy antropologii* [Questions of anthropology], 1977, is. 54. P. 190–211 (in Russian).

Zubov A. A. *Metodicheskoe posobie po antropologicheskomu analizu odontologicheskikh materialov* [Methodological manual on anthropological analysis of odontological materials], Moscow: Etno-Onlain, 2006, 72 p. (in Russian).

Zubov A. A. *Odontologiiia: metodika antropologicheskikh issledovanii* [Odontology: methodology of anthropological research], Moscow: Nauka, 1968, 200 p. (in Russian).

Zubova A. V. Predvaritel'nye rezul'taty izucheniia arkhainoi sostavliaiushchei odontologicheskikh kompleksov naseleniia Evrazii epokhi neolita [Preliminary results of the study of the archaic component of odontological complexes of the Eurasian population of the Neolithic era]. *Vestnik antropologii* [Bulletin of Anthropology]. 2013, no. 4 (26). P. 107–127 (in Russian).

Zubova A. V., Chikisheva T. A. Nonmetric Dental Trait Distribution in the Neolithic Populations of Southwestern Siberia. 2015a, vol. 43, no. 3. P. 116–127.

Zubova A. V., Chikisheva T. A. The Morphology of Human Teeth from Afontova Gora II, Southern Siberia, and Their Status Relative to the Dentition of Other Upper Paleolithic Northern Eurasians. *Archaeology, Ethnology & Anthropology of Eurasia*. 2015b, vol. 43, no. 4. P. 135–143.

Zubova A. V., Krivoshepa A. I., Shalagina A. V. Human Teeth from Strashnaya Cave, the Altai Mountains, with Reference to the Dental Variation in Stone Age Siberia. *Archaeology, Ethnology & Anthropology of Eurasia*. 2017, vol. 45, no. 3. P. 136–145.

Aufderheide A. C., Rodríguez-Martín C. *The Cambridge encyclopedia of human paleopathology*. New York: Cambridge University Press, 1998. XVIII+478 p.

Bedić Ž., Azinović Bebek A., Čavka M., Šlaus M. A case of hydrocephalus in a child from early modern period Žumberak, Croatia. *International Journal of Paleopathology*. 2019. Vol. 26. P. 1–7.

Black S., Scheuer L. Age changes in the clavicle: From the early neonatal period to skeletal maturity. *International Journal of Osteoarchaeology*. 1996. Vol. 6. P. 425–434.

Brachetta-Aporta N., Gonzalez P.N., Bernal V. Association between shape changes and bone remodeling patterns in the middle face during ontogeny in South American populations. *The Anatomical Record: Advances in Integrative Anatomy and Evolutionary Biology*. 2021. Vol. 305 (1). P. 156–169.

Esmaili Mo., Esmaili Ma., Ghane Sharbaf F., Bokharaie Sh. Fontanel size from birth to 24 months of age in Iranian children. *Iranian Journal of Child Neurology*. 2015. Vol. 9 (4). P. 15–23.

Freidline S. E., Gunz P., Harvati K., Hublin J.-J. Evaluating developmental shape changes in Homo antecessor subadult facial morphology. *Journal of Human Evolution*. 2013. Vol. 65 (4). P. 404–423.

Gindhart P. S. Growth standards for the tibia and radius in children aged one month through eighteen years. *American Journal of Physical Anthropology*. 1973. Vol. 39. P. 41–48.

Glass R. B. J., Fernbach S. K., Norton K. I., Choi P. S., Naidich T. P. The infant skull: A vault of information. *RadioGraphics*. 2004. Vol. 24. P. 507–522.

Lewis M. Paleopathology of children: Identification of pathological conditions in the human skeletal remains of non-adults. London: Academic Press, 2018. XI+288 p.

Mann R. W., Hunt D. R. Photographic regional atlas of bone disease: A guide to pathologic and normal variation in the human skeleton. Springfield: Charles C Thomas Publisher, 2012. XVI+416 p.

Molleson T., Cox M. The Spitalfields Project. The Middling Sort. Vol. 2: Anthropology. London: Council for British Archaeology Research report no. 86, 1993. 231 p.

Pindrik J., Ye X., Ji B. G., Pendleton C., Ahn E. S. Anterior fontanelle closure and size in full-term children based on head computed tomography. *Clinical Pediatrics*. 2014. Vol. 53 (12). P. 1149–1157.

Richards G. D., Anton S. C. Craniofacial configuration and postcranial development of a hydrocephalic child (ca. 2500 B. C. — 500 A. D.): With a review of cases and comment on diagnostic criteria. *American Journal of Physical Anthropology*. 1991. Vol. 85. P. 185–200.

Rissech C., Black S. Scapular development from the neonatal period to skeletal maturity: A preliminary study. *International Journal of Osteoarchaeology*. 2007. Vol. 17. P. 451–464.

Schaefer M., Black S., Scheuer L. Juvenile osteology: A laboratory and field manual. London: Academic Press, 2009. — XII+369 p.

Schuh A., Kupczik K., Gunz P., Hublin J.-J., Freidline S. E. Ontogeny of the human maxilla: a study of intra-population variability combining surface bone histology and geometric morphometrics. *Journal of Anatomy*. 2019. Vol. 235. P. 233–245.

Ubelaker D. H. Human skeletal remains: Excavation, analysis, interpretation (2nd ed.). Washington, DC: Taraxacum, 1989. XI+172 p.

Waldron T. Paleopathology. New York: Cambridge University Press, 2009. XVII+279 p.

Статья поступила в редакцию: 26.02.2024

Принята к публикации: 20.08.2024

Дата публикации: 30.09.2024